

一般化 Burgers 方程式と平面 Poiseuille 乱流の 数值実験

東大工 桑原 真二

§ 1. 非等方、非一様な乱流の定式化

乱流現象を数学的にみて興味のある点は、定常な境界条件、ランダムな強制力をもたない基礎方程式にもかくやらう“非定常運動を持続することである。カルマンの漏列もこの範囲にはいるが、乱流の前段階とみなすことができるよう。ここでは平面ポアズイユ流の一次元化モデルである一般化バーガー方程式と2次元の擾乱をともなう平面ポアズイユ乱流を非等方、非一様な乱流の例としてとりあつかう。

乱流を基本流とそれに重ね合わされた乱れとして表わすのが普通である。すなはち流速 \bar{v} を

$$\bar{v}(x, t) = \bar{v}_0(x) + \tilde{v}(x, t) \quad (1.1)$$

とおき、 $\bar{v}_0(x)$ を層流の定常解とする。されば、このよしな分解ではこの統計平均は0となる:

$$\langle \tilde{v} \rangle \neq 0 \quad (1.2)$$

$\bar{v}_0(x), \tilde{v}(x)$

$$\tilde{u}(x, t) = \sum_{\ell} a_{\ell}(t) v_{\ell}(x) \quad \ell = (\ell_1, \ell_2, \ell_3) \quad (1.3)$$

と分解し, v_{ℓ} は正規直交のベクトルを意味とえらぶ。

$$(v_{\ell}^*, v_m) = \delta_{\ell, m}, \quad \delta_{\ell_1 m_1} \delta_{\ell_2 m_2} \delta_{\ell_3 m_3}, \quad *: \text{複素共役} \quad (1.4)$$

(,) はある種の内積とする。 ℓ は直交関数のモードを意味するものであるが, すべてが必ずしも a^* と $a^{\prime\prime}$ の値ではなく, その内のいくつかは連続の値をとりうる。

後に示すように一般の流体力学では, 上の分解をもつ a_{ℓ} と a_{ℓ}^* に対する時間について 1 階の微分方程式とする。

a_{ℓ} は各モードの振幅で, 決定論的方程式にしたがい, しかも臨界レイノルズ数を越えた状態では, 非常に複雑を小こまなさずと考えられる。臨界レイノルズ数を越えた状態では, 初期条件として 1, 2, 3 のモードだけは微小な振幅をもつとして, 時間がたつにつれて多くのモードが励起されて, ある定常乱流に到達するものと予想される。われわれは基本流として層流の定常流をとったのが, 定常な乱流状態では, 平均流はレイノルズ応力 τ によって変形する。これが二つのモードの平均値のすべてには, 必ずしも τ に反り立つ:

$$\langle a_{\ell} \rangle_T \equiv \lim_{T \rightarrow \infty} \frac{1}{T} \int_0^T a_{\ell}(t) dt = \bar{a}_{\ell} \quad (1.5)$$

ここで平均流は

$$\bar{v} = \bar{u} + \sum_{\alpha} \bar{a}_{\alpha} v_{\alpha}(x) \quad (1.6)$$

乱れは

$$\tilde{v} = \sum_{\alpha} (a_{\alpha} - \bar{a}_{\alpha}) v_{\alpha}(x) \quad (1.7)$$

で表わされます。

後にわかるように、特殊な初期条件から始めるとすべてのモードは励起されることはある。しかし、“ある初期条件から上述の方程式を解いて、時間を十分大きくすれば、定常乱流のはほとんどすべての状態をへめぐる”ことがほとんどの初期条件に対して成立つことを考慮られます。(エルゴードの仮定)

§2. 一般化バーガース方程式

Burgers は平面ポアズイエ流をモデル化して次の方程式を導いた。

$$\frac{\partial U}{\partial t} = P - \frac{\nu U}{\sigma} - \frac{1}{\sigma} \int_0^s v^2 dy \quad (2.1)$$

$$\frac{\partial v}{\partial t} = \frac{1}{\sigma} U v + \nu \frac{\partial^2 U}{\partial y^2} - 2v \frac{\partial U}{\partial y} \quad (2.2)$$

ここで

$$U(t) = \int_0^s u dy \quad (2.3)$$

$(u(y, t), v(y, t))$ は 2 次元の流速、 u は 2 次元の中、 P は圧力勾配に応じた定数である。

(2.1), (2.2) の定常解は

$$\bar{v} = \frac{\delta P}{\nu} \equiv \bar{v}_0 = \text{const.} \quad \nu = 0 \quad (2.4)$$

とす。この次のまゝ無次元化を行なう。

$$\left. \begin{aligned} 2v/\bar{v}_0 &\rightarrow v, \quad y/\ell \rightarrow y \\ \bar{v}/\bar{v}_0 &\rightarrow \bar{v}, \quad \bar{v}_0 t/\ell \rightarrow t \\ R &= \bar{v}_0 \ell / \nu \end{aligned} \right\} \quad (2.5)$$

$\bar{v} = \bar{v}$ (2.1), (2.2) は

$$\frac{d\bar{v}}{dt} = -\frac{1}{R}(1-\bar{v}) = -\frac{1}{4} \int_0^1 v^2 dy \quad (2.6)$$

$$\frac{\partial v}{\partial t} + v \frac{\partial v}{\partial y} - \frac{1}{R} \frac{\partial^2 v}{\partial y^2} = \bar{v} v \quad (2.7)$$

とす。

22

$$\bar{v} = 1 + \tilde{u}, \quad v = \tilde{v} \quad (2.8)$$

とおひて、 (\tilde{u}, \tilde{v}) を 1 次の微小量とし、線形化すれば

$$\frac{\partial \tilde{u}}{\partial t} + \frac{1}{R} \tilde{u} = 0 \quad (2.9)$$

$$\frac{\partial \tilde{v}}{\partial t} - \frac{1}{R} \frac{\partial^2 \tilde{v}}{\partial y^2} = \tilde{v} \quad (2.10)$$

とす。 (2.10) の境界条件:

$$v(0) = v(1) = 0 \quad (2.11)$$

の t と y の解を

$$\left. \begin{aligned} \tilde{v} &= \bar{v} e^{ky - i\omega t} \quad \bar{v}: \text{定数} \\ k &= \pm i \sqrt{R(1+i\omega)} \\ \omega &= i(1 - \pi^2 l^2 / R) \quad l = 1, 2, \dots \end{aligned} \right\} \quad (2.12)$$

とす。 $\bar{v} = \bar{v}$ \tilde{v} は $e^{-i\omega t} = e^{(1 - \pi^2 l^2 / R)t}$ の因子をもつ

から $R > \pi^2$ では不安定となる。すなはち臨界レイノルズ数は $R_{cr} = \pi^2$ である。 (2.9) カラウカスミンは \tilde{u} は $e^{-t/R}$ で減衰する。

$v \in T - 1$ 工級数:

$$v(t, y) = \sum_{\ell=1}^{\infty} a_{\ell}(t) \varphi_{\ell}(y) \quad \left. \begin{array}{l} \\ \varphi_{\ell}(y) = \sqrt{2} \sin \pi \ell y \end{array} \right\} \quad (2.13)$$

v 分解し, $\ell \in L$ 項をとると (2.7) , (2.6) は

$$\dot{a}_1 + (\pi^2/R - D) a_1 - \frac{\pi}{\sqrt{2}} \sum_{m=2}^{L-1} a_m a_{m-1} = 0 \quad (2.14)$$

$$\dot{a}_{\ell} + (\pi^2 \ell^2/R - D) a_{\ell} + \frac{\pi}{\sqrt{2}} \left(\sum_{m=1}^{\ell-1} m a_{\ell-m} a_m - \ell \sum_{m=1}^{L-\ell} a_{m+\ell} a_m \right) = 0 \quad (2.15)$$

$$D - \frac{1}{R} (1 - D) + \sum_{\ell=1}^{L-1} a_{\ell}^2 = 0 \quad (2.16)$$

とある。

第1回は $R = 20, > R_{cr} = \pi^2 \approx 9.86, L = 20,$

初期条件: $D = 1, a_1 = \sqrt{2E_0} \cos \alpha,$

$a_2 = \sqrt{2E_0} \sin \alpha, a_3 = \dots = a_{20} = 0$, と12行, これが計算の結果である。

この方程式は、他の研究があるが、次のよう性质を持つことよりと思われる。

有界領域での初期値問題では

1) $t \rightarrow \infty$ で、各 R に対応する定常解に落ちつく。

$R = 20$ の時は $t = 50$ のとき定常解となり, $U(\infty) \approx 0.77$

2) 定常解 $U(y)$ が存在すれば, $-U(-y)$ も定常解であることは方程式によつて証明できますが, どちらかおさへくから初期条件によつて。

以上のことから一般化バーガース方程式は乱流の性格をあまりもあわせていないうえに運動する。

§3. 平面ボアズイエ乱流

平面ボアズイエ流に対する, §1 でのべた方法を適用するにあたって長さをみでの a , 速度は層流定常流の最大値 U で, 時間を a/U , 壓力を ρU^2 で無次元化する (ρ は密度)。ここで y の領域は $[0, 1]$ とし

$$\bar{u} = (4y(1-y), 0) \quad (3.1)$$

となる。乱れに対する方程式は

$$\left(\frac{\partial}{\partial t} - \frac{2}{R} \Delta \right) \tilde{u} + \bar{u} \frac{\partial \tilde{u}}{\partial x} + \tilde{v} \frac{d \bar{u}}{dy} \text{①},$$

$$+ (\tilde{u} \cdot \text{grad}) \tilde{u} = - \text{grad} \tilde{p} \quad (3.2)$$

となる。

乱れは2次元, x は $[-1, 1]$ の周期2の周期性を仮定する。したがつて $x \mapsto [-1, 1]$ を考へればよい。

以上は乱れの数学的表現に対する簡単化であり, それによつ

て、乱流の物理的特徴が失かれてものではない。更に位相の速度のモードがソレノイダルであると仮定する。

以上のこと考慮して $\nabla \varphi = 0$ の条件を課す。

$$1) \quad \operatorname{div} \nabla \varphi = 0 \quad (3.3)$$

$$2) \quad \nabla \varphi(-1, y) = \nabla \varphi(1, y) \quad (3.4)$$

$$3) \quad \nabla \varphi(x, 0) = \nabla \varphi(x, 1) \quad (3.5)$$

$$4) \quad \int_{-1}^1 \frac{\partial^2 \tilde{u}}{\partial y^2} dx = 0 \quad y = 0, 1 \quad (3.6)$$

4) の条件は $y = 0, 1$ における (3.1) の x 成分:

$$\frac{\partial^2 \tilde{u}}{\partial y^2} = -\frac{R}{2} \frac{\partial \tilde{p}}{\partial x} \quad (3.7)$$

を x について考慮して

$$\begin{aligned} \int_{-1}^1 \frac{\partial^2 \tilde{u}}{\partial y^2} dx &= -\frac{R}{2} \int_{-1}^1 \frac{\partial \tilde{p}}{\partial x} dx \\ &= -\frac{R}{2} (\tilde{p}(1, y) - \tilde{p}(-1, y)) = 0 \quad (3.8) \end{aligned}$$

を満たすことを示す。 \Rightarrow \tilde{p} の周期性 $\tilde{p}(1, y) = \tilde{p}(-1, y)$ を仮定しておける、 $\nabla \varphi$ の周期性から考えて自然周期は π である。

$\nabla \varphi$ は $\ell = (\ell_1, \ell_2, \ell_3) = (\ell, m, 0)$ である。 $\nabla \varphi_m$ は次のようになることを示す。また

$$\left. \begin{aligned} \hat{\nabla}_{\ell m}(x) &= \varphi_e(x) (\psi'_m(y), -\pi i \ell \psi_m(y)) \\ \varphi_e(x) &= \frac{1}{\sqrt{2}} e^{i \pi \ell x} \end{aligned} \right\} (3.9)$$

とおく。この形式はよって (3.3), (3.4) の条件は満足され
る。つきに (3.5), (3.6) の条件は

$$\ell = 0 : \psi_m = \begin{cases} \sim y^2 + \alpha, & y \neq 0 \\ \sim (1-y)^2 + \beta, & y \neq 1 \end{cases} \quad (3.10)$$

$$\ell \neq 0 : \psi_m = \begin{cases} \sim \alpha y + \beta y^3 & y \neq 0 \\ \sim \alpha(1-y) + \beta(1-y)^3 & y \neq 1 \end{cases} \quad (3.11)$$

を満足しない。 $\exists = \tau$

$$\ell = 0 : \hat{\psi}_m = \cos \pi m y \quad (3.12)$$

$$\ell \neq 0 : \hat{\psi}_m = \cos \pi m y - \cos \pi(m+2)y$$

とおくことによつて (3.10), (3.12) は満足される。このよ
うなことをつけて \hat{V}_{lm} を Schmidt の方法によつて直交化
(2)

$$(V_{lm}^*, V_{lpq}) = \delta_{lp} \delta_{mq} \quad (3.13)$$

を満足する V_{lm} をつくり上げることができる。 $\exists = \tau$

$$V(x, t) = \bar{u}(y) e_i + \tilde{u}(x, t) \quad (3.14)$$

$$\tilde{u}(x, t) = \sum_{l=-\infty}^{\infty} \sum_{m=0}^{\infty} a_{lm}(t) V_{lm}(x)$$

とおくこととする。

$\exists = \tau$ の内積は

$$(f, g) = \int \int f(x) g(x) dx dy \quad (3.15)$$

で定義されることは。 (3.14) を (3.2) に代入し、更に V_{lm}
との内積をとると a_{lm} は次の微分方程式となる。

$$\frac{d \alpha_{lm}}{dt} + \frac{2}{R} \sum_p A_p^{lm} \alpha_{lp} + \sum_{npr} A_{npr}^{lm} \alpha_{np} \alpha_{l-nr} \\ = \sum_p S_p^{lm} \alpha_{lp} \quad (3.16)$$

$\Rightarrow \tau''$

$$\left. \begin{aligned} A_p^{lm} &= -(\bar{V}_{lm}^*, \Delta V_{ep}) \\ A_{npr}^{lm} &= (\bar{V}_{lm}^*, (u_{l-nr} \frac{\partial}{\partial x} + v_{l-nr} \frac{\partial}{\partial y}) V_{np}) \\ S_p^{lm} &= -(\bar{V}_{lm}^*, \bar{u} \frac{\partial}{\partial z} V_{ep}) - (u_{lm}^*, v_{ep} \frac{du}{dy}) \end{aligned} \right\} (3.17)$$

である。 τ'' (3.16) の左辺第2項は慣性項、第3項は2次の慣性項(非線形相互作用)，右辺は慣性項から去る基本流と乱れの相互作用と考えうるものである。この右辺は等方性乱流では存在しない、いわば基本流から乱れをつくり立てる一系の役割をはなす。 A_{npr}^{lm} と S_p^{lm} は純虚数である。

この論文では、物理的現象そのまゝを表わす二つの着眼があるのではないか、物理的乱流の構造に興味をもつ。そこには二つの構造要素として最も簡単なモードを考え。それは V_{lm} における $l = 0, \pm 1, \pm 2, m = 0, 1, \dots, \pm l$ の $2l+1$ 個である。 $V_{00} \equiv 0$ であるから 5 個のモードの二乗をとる。

次回は $R = 20,000$ 、初期条件 $a_{10} = a_{11} = 2^{-\frac{1}{2}}$ 。
 10^{-2} (次回上より 1, 3 項目モード) について行こう。

数値実験の結果で、 a_{em} （モードの振巾）の時間的発展を示したものである。平面ポアズイエ流の線形安定理論による臨界レイノルズ数は約 10,000 である。図の左側に示して流中の圓は各モードのステンチであるが、基本ベクトル電流 v_{em} ($= v_{lm}$) が一般の族電流 ($l=0$ のとき) であるので、この実験部に対する流れを示したもので、虚数部は湯の擾動を半周期ずらせるものに相当する。それ故、 $a_{em} \downarrow$ 、一般の族電流 ($a_{-em} = a_{em}^*$) で、図の実線が実験部で、破線が虚数部をあらわしている。この結果、上所述べるよ；れの他のモードととててもあるが、 v_{01} の基本流は励起されており。時間のマッシュは $\Delta t = 0.001$ 、直線で計算する方法で計算した。これは $t = 100$ までの計算結果であるが、十分に定常化流れ達しているかどうかどうか、よくわかる。

§4. むすび

非一様、非等方の乱流の理論的研究をする方法として、乱流場を基本流と乱れの分けて、更に乱れを適当な正規直交固有系（モード）で表わして、一般化ハーガース方程式およびナウ、エ・ストークス方程式に適して、モードの振巾に対する方程式を立てた。

一般化ハーガース方程式では、層流解が、臨界レイノルズ

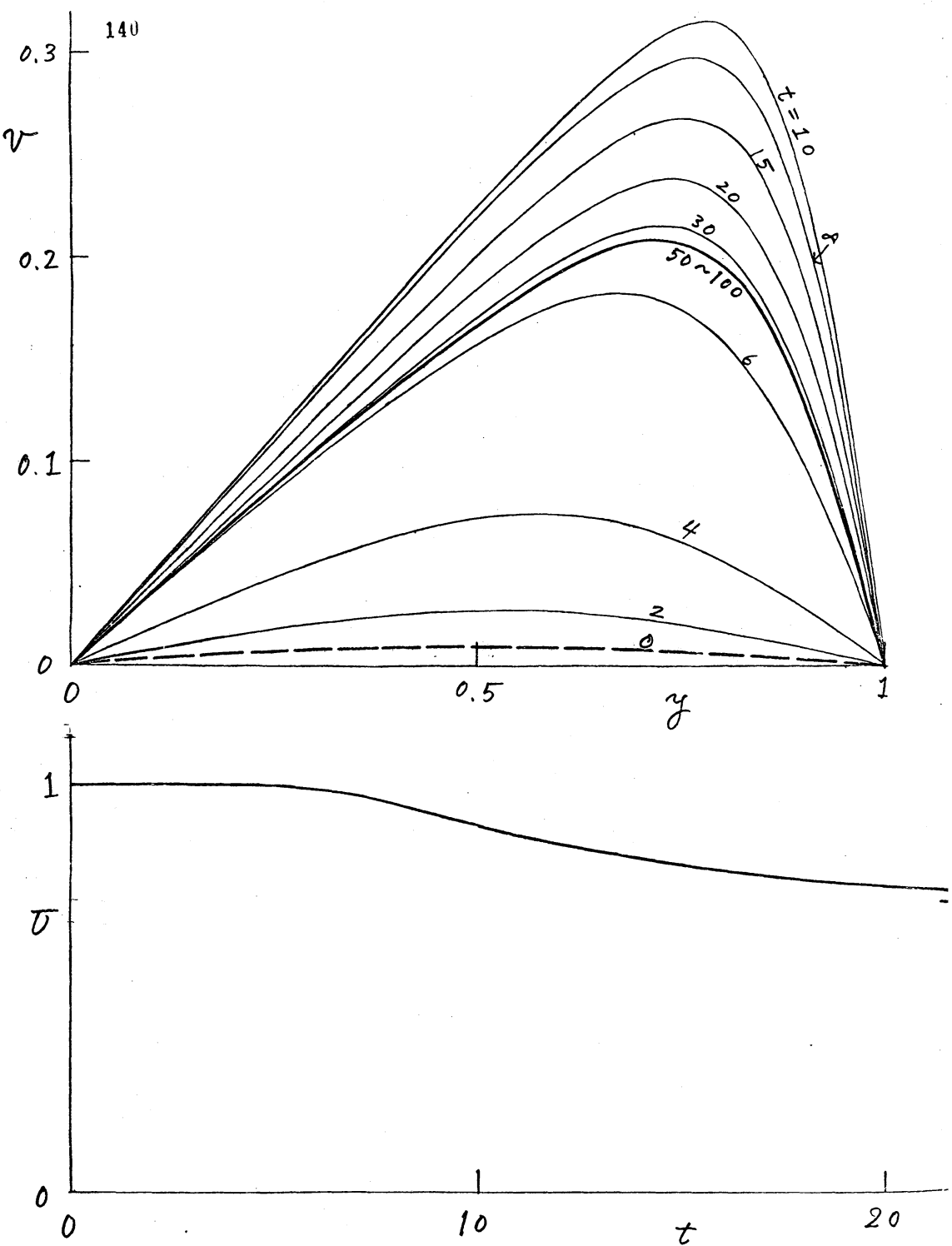
$R_{cr} = \pi^2$ 以上で不安定となるが、乱流の特徴はえらむず、他の層流解は等しくつかまつた。

平面アスイエ流れては、乱流の特徴である非線形相互作用、すなわち基本流から乱れのモードへのエネルギーの変換、モード間の相互作用、乱れによる基本流の変形を上の方程式によつてしらべる。9個のモードをとつて計算を行つてみると、基本流から乱れのモードへ移り、モード間の相互作用によつて各モードへエネルギーが更に分配する機構はわかつてか、基本流の変形はみらむをかつて。

モードの数をふやすことによつて基本流の変形、乱れの特徴である偶然性の様相が現れて行くことが想像される。

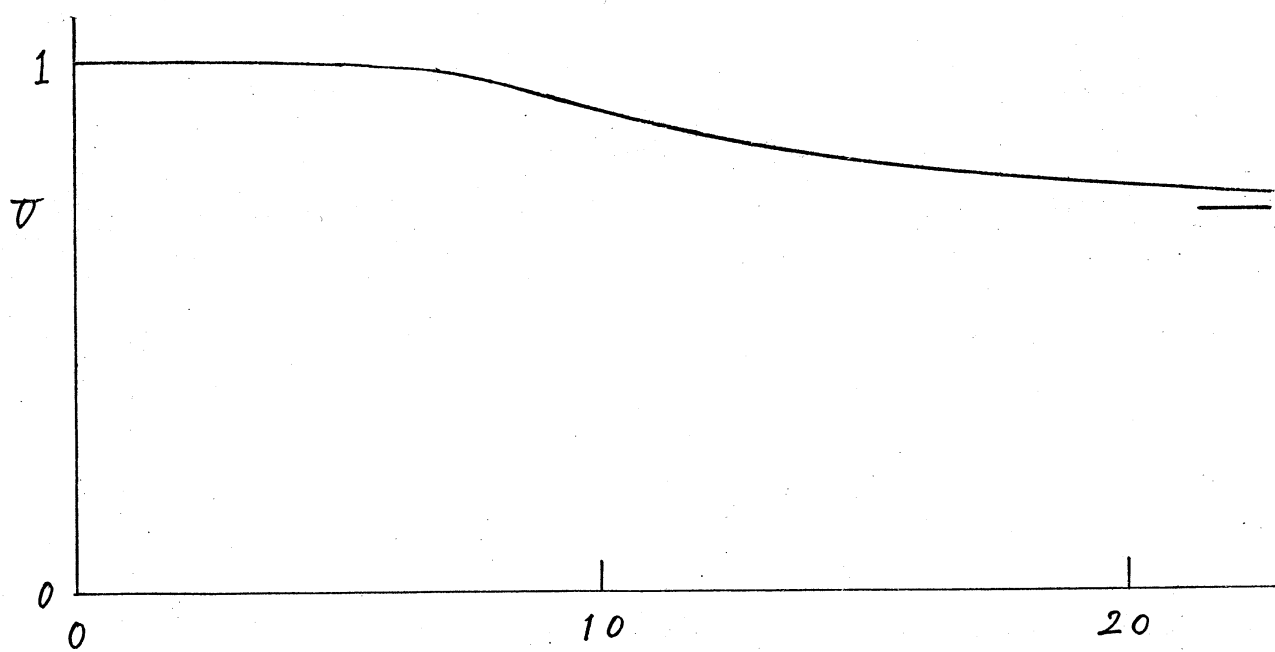
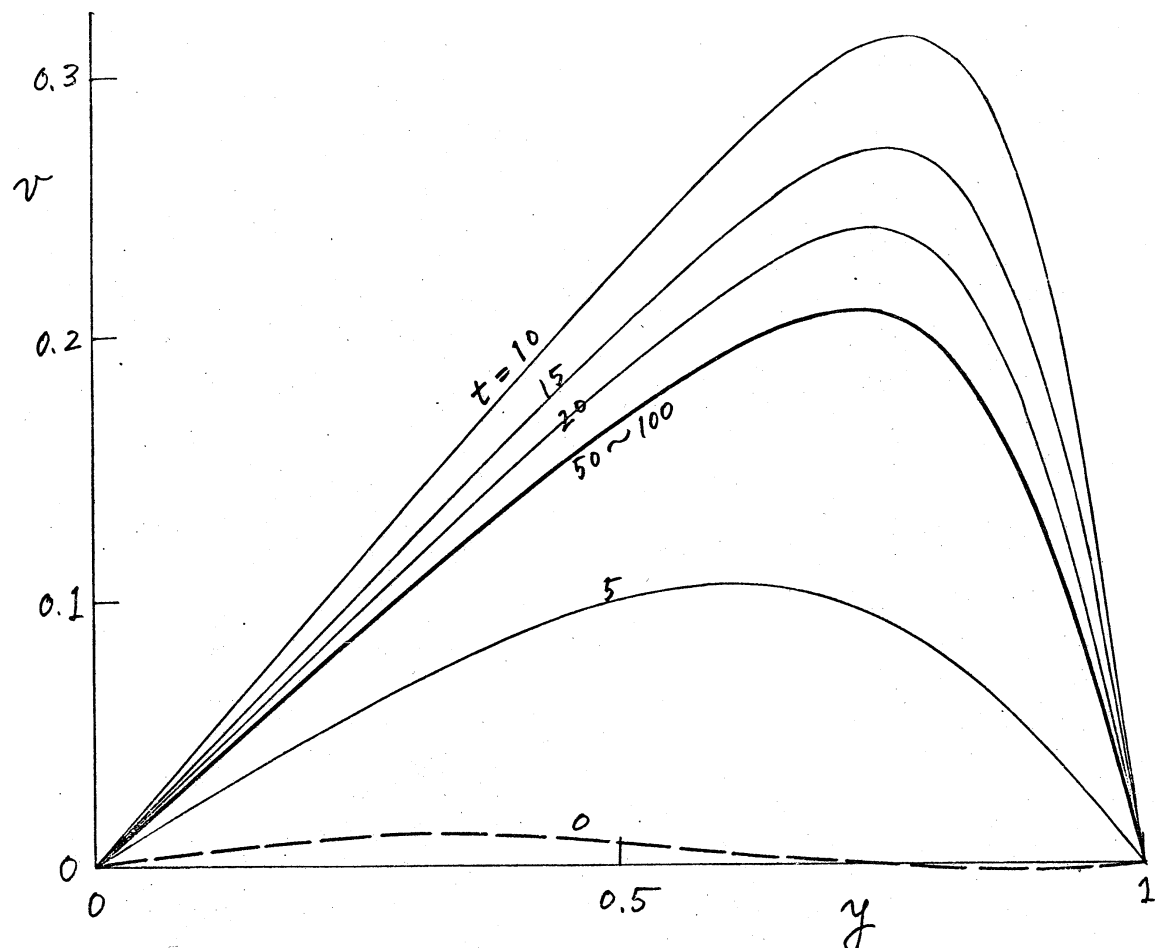
参考文献:

- 1) Burgers, M. J. : Advances in Appl. Mech.
(Acad. Press Inc., 1948) vol. 1, p 171
- 2) Case, K. M. & S. C. Chiu : Phys. Fl. 12 (1969)
1799.
- 3) Lee, J. : ~~JFM~~ Phys. Fl. 15 (1972) 540.



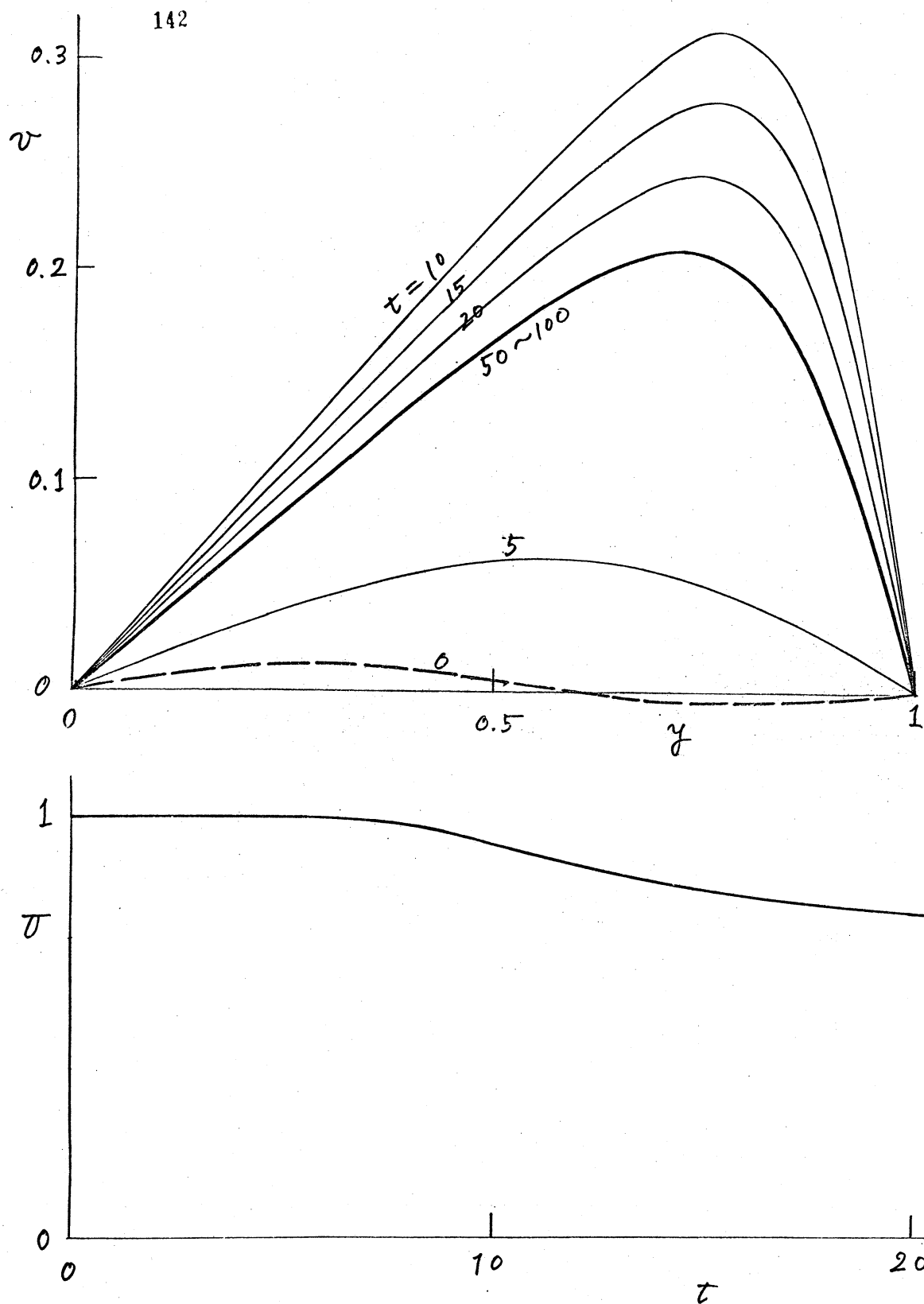
(a) $R = 20$, $V = 1$, $E_{ini} = 10^{-4}$, $\alpha = 0$

图 112



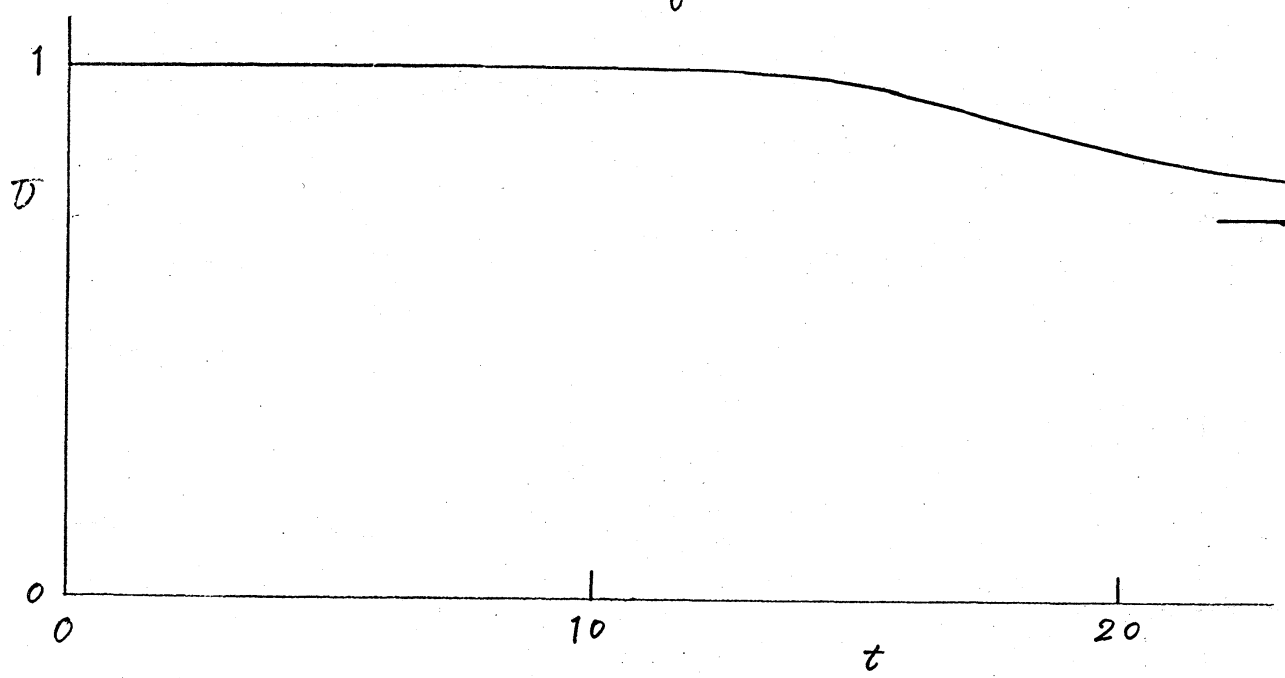
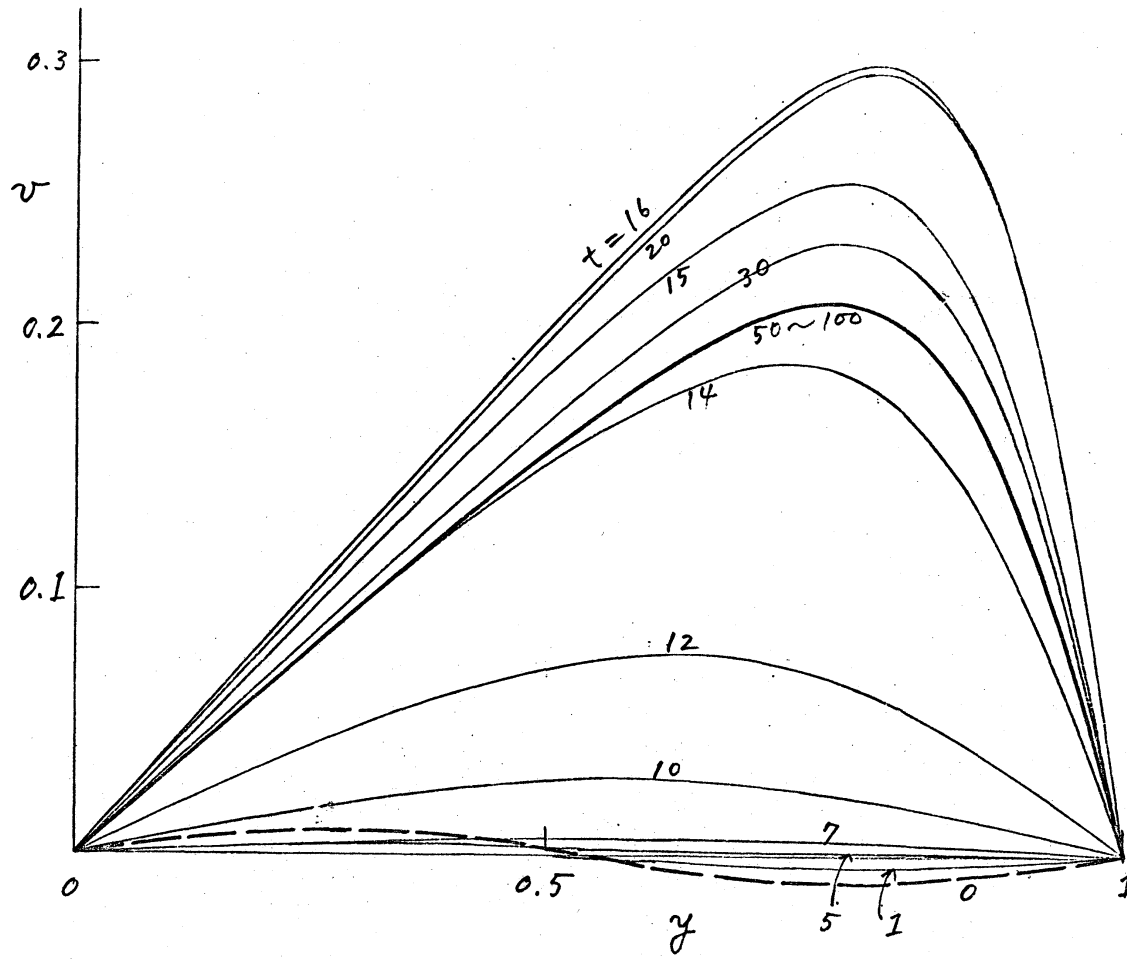
$$(b) R = 20, D = 1, E_{ini} = 10^{-4}, \alpha = 30$$

1 [2]



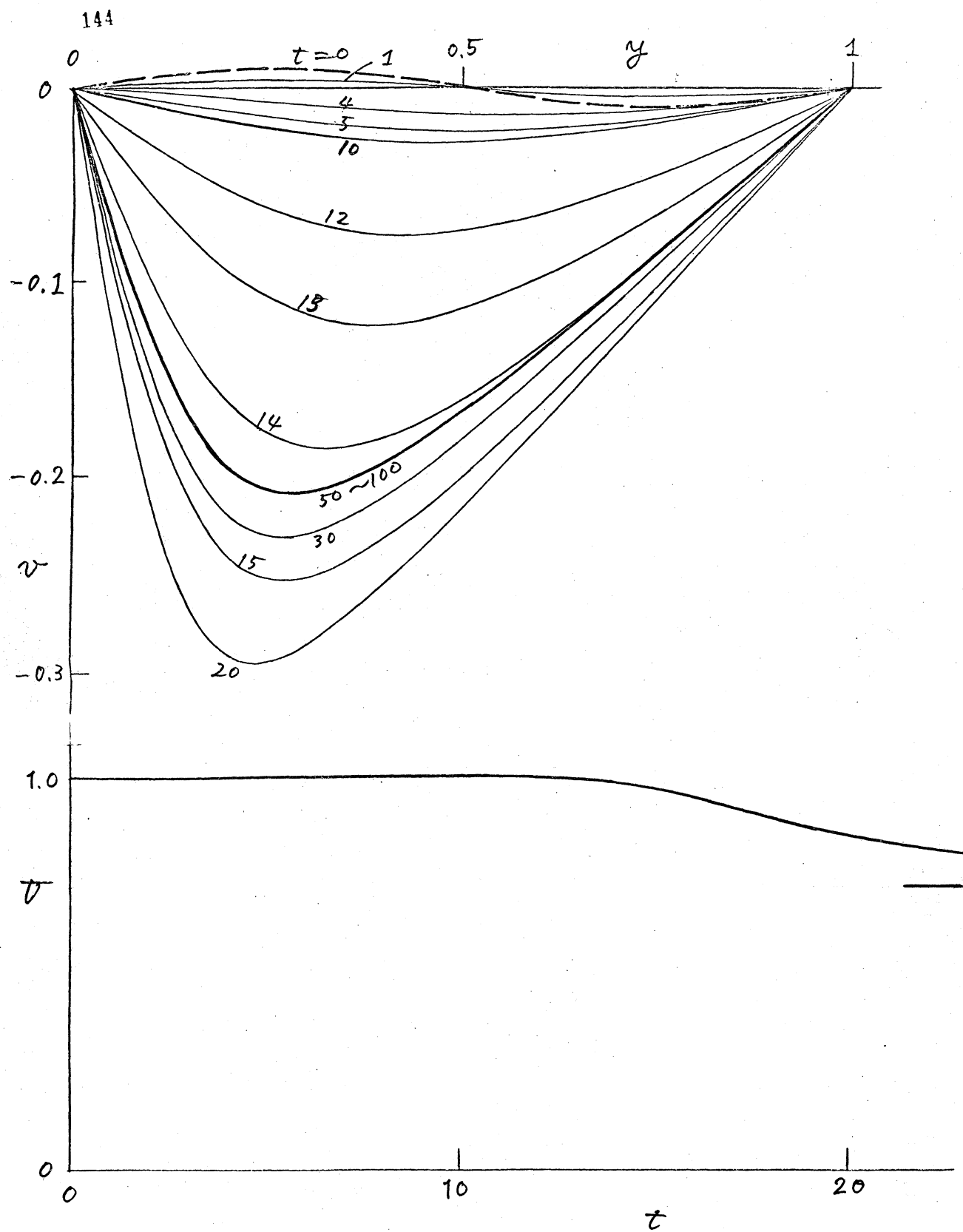
(c) $R = 20$, $U = 1$, $E_{ini} = 10^{-4}$, $\omega = 60$

1 (2)



(d) $R = 20$, $D = 1$, $E_{im} = 10^{-4}$, $\alpha = 89$

1 図



(e) $R = 20$, $\tau = 1$, $E_{ini} = 10^{-4}$, $\alpha = 91$

1 12

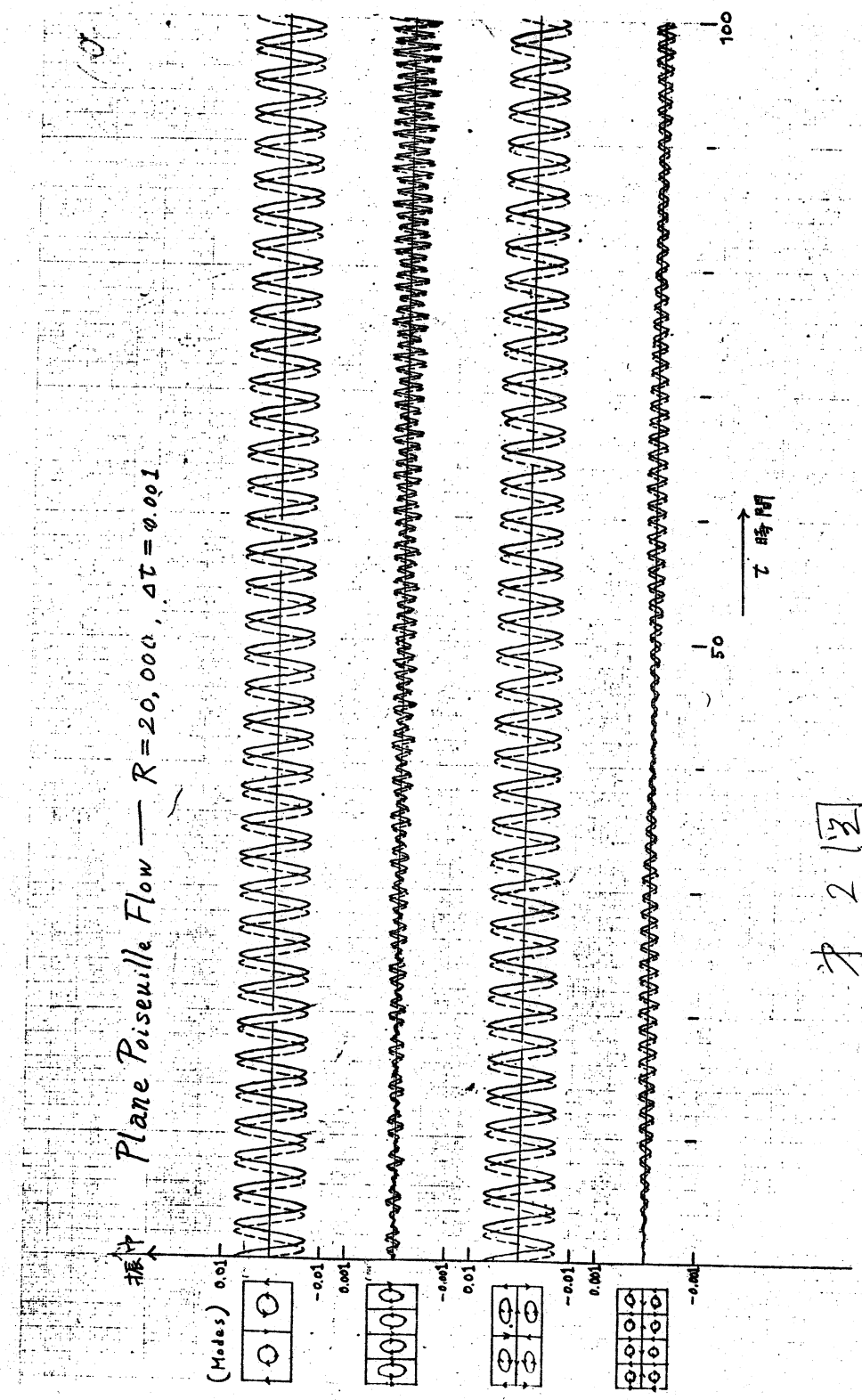


Fig 2 [2]